

[39] 炭素繊維補強セメントの曲げ強度におよぼす諸因子

正会員 白川 潔 (住友金属工業 中央技術研究所)
正会員 ○中川憲一 (住友金属工業 中央技術研究所)

1. まえがき

炭素繊維補強セメント(CFRIC)の研究は、1972年にAraiらが高弾性型炭素繊維(PAN系)について¹⁾、また1981年に秋浜らが低弾性型炭素繊維(ピッチ系)について²⁾それぞれ報告している。これらはいずれも一向連続繊維で補強したCFRICに関するものであり、短繊維に関するものはほとんど見当らない。

PAN系繊維は高強度高弾性の性質を有し補強用繊維としてはピッチ系繊維よりも優れているが、高価なため建築材料には経済性の面で適用が困難である。これに対して短繊維で用いたピッチ系繊維(CF)は比較的安価で、しかもセメント補強用として十分な機械的性質を有するので、流込み、押出成型品など広い用途に適用可能である。ここでは、ピッチ系短繊維を用い、流込み成型したCFRICの曲げ強度におよぼす繊維の長さ、容積混入率、分散性、骨材の種類、粒径等の影響を実験的に明らかにしたのでその結果を報告する。

表1. 使用材料および配合

実験 種類	使用 材 料			ミキサー投入 時の繊維状態	ミキサー の種類	配 合 条 件			
	セメント	繊維長さ (mm)	混和剤			W/C (%)	Vf (%)	MO/C (%)	AI/C (%)
A		3	メチルセルローズ(MC)	纖維Ⅰ 纖維Ⅱ	オムニミキサー ハンドミキサー	5.0	3	0	0
							0.5	0.05	0.03
B	早強 ポルト ランド セメント	3 6 10	*1 消泡剤(Af)	纖維Ⅱ	オムニミキサー	4.0 5.0 6.0 8.0 10.0 12.0	0.1 3.5 7.10	0.5	0.03
C		3	ジラスバーレン 川砂 川砂利 2号硅砂 5号硅砂 8号硅砂	纖維Ⅰ					

*1. 酸化エチレン酸化プロピレン系

*2. 羽根の直径 100 φ_{mm}, 回転数 1000 rpm

*3. 容量 30 L

表2. 炭素繊維の物理的性質

比重	直径 μm	引張強度 ×10 ³ kg/cm ²	弾性係数 ×10 ⁵ kg/cm ²	伸び %	電気抵抗 Ω·cm	熱膨脹率 10 ⁻⁶ ℃	熱伝導率 Kcal/m·hr·℃
1.6	14.5	8.5~10	3.8~4.2	2.2~ 2.4	5.5 ~15×10 ⁻³	1.7~5	1.5

表3. 骨材の物理的性質

骨材の種類	粒度範囲	比重
ジラスバーレン	10~200 μm	0.4
川砂	5 mm 以下 (FM = 2.52)	2.57
川砂利	10 mm 以下	2.60
2号硅砂	0.6~2.5 mm	2.68
5号硅砂	0.3~1.2 mm	2.64
8号硅砂	0.15 mm 以下	2.68

*見掛比重

2. 実験概要

2.1 使用材料と配合

使用材料と配合条件を表1にとりまとめて示す。繊維Ⅰはミキサー投入前から若干のファイバーボールが存在していたもの、繊維Ⅱは繊維Ⅰを2.5 mmフルイに通し、完全にファイバーボールを除去したものである。また、供試CF、骨材の物理的性質をそれぞれ表2, 3に示す。

2.2 実験の種類と目的

実験A：表1に示すように、ミキサーの種類、混和剤の種類、ミキサーへの投入前の繊維の状態をそれぞれ変化させて混練したCFRICの曲げ強度を調べ、CFの分散が強度におよぼす影響を明らかにするとともにCFRICの最適混練方法を見出す。

実験B：CFの長さℓ = 3, 6, 10 mm, 容積混入率Vf = 0, 3, 5, 7, 10 %と変化させ、繊維の長さ、混入率がCFRICの曲げ強度および変形能におよぼす影響を明らかにする。

実験C：表3に示す6種類の骨材を用いて、骨材の種類、粒径がそれぞれCFRICの曲げ強度におよぼす影響を明らかにし、CFRICに適した骨材を見出す。なお、CFRICのフロー値は160 mmとした。

2.3 供試体の養生

供試体の養生は全てオートクレーブ養生とし、実験Cのみ比較のため水中養生も行なった。オートクレーブ養生は昇温速度50 °C/hr、最高温度183 °C、最高圧力10 atmで5時間保持後自然放冷とした。

2.4. 実験方法

曲げ供試体の寸法は $40^b \times 10^t \times 160^l \text{ mm}$ で、試験はスパン 100 mm の中央集中載荷とした。

なお、載荷と同時にスパン中央における供試体のたわみを計測した。引張供試体は図 1 に示す形状寸法のもので、供試体中央部に貼付した長さ 30 mm のストレンゲージにより、載荷時の引張ひずみを計測した。なお、実験 A では C F R C 破面の顕微鏡写真を利用し、 0.1 mm メッシュ中の繊維本数を数え、(1)式で得られる分散係数 β にて

C F の分散性を定量化した。³⁾ なお、要素数は各条件と

も 225 個とした。

$$\beta = e^{-\varphi(x)} \\ \varphi(x) = \sqrt{\frac{\sum (x_i - \mu)^2}{n}} / \mu \quad \left. \right\} (1)$$

μ : 繊維数の平均値、 n : 要素数、 x_i : 各要素の繊維数

3. 実験結果と考察

3.1. C F の分散の影響（実験 A）

表 4 に示すように容積混入率一定（3%）の C F R C の曲げ強度はミキサーへ投入する繊維の状態、ミキサーの種類、メチルセルロース（MC）添加の有無により異なった値を示す。これは混練条件により C F の分散状態が著しく異なっているためであり、図 2 の C F の分散係数と曲げ強度との関係からも明らかである。この C F の分散性を向上させる混練方法については、(1) オムニミキサーの機械的攪拌だけでは、混練前から若干のファイバーボールのある C F を十分に分散混練することは難しいが、MC を添加するとその増粘効果で C F の分散性が向上すること、(2) C F を混練前に十分ほぐして使用すると MC を添加しなくともオムニミキサー、ハンドミキサーでの分散混練が可能であること等が明らかとなった（表 4）。図 3 は C F R C の曲げ試験における荷重とたわみとの関係を示したもので C F R C の曲げ変形性状は次の 3 段階に分けられる。すなわち、初期勾配が直線的な第 1 段階、初期ひびわれが発生した後最大荷重に至るまでの第 2 段階、最大荷重到達後荷重が低下する第 3 段階である。第 1 段階は C F とマトリックスとの付着が完全とみなしえる弾性領域、第 2 段階はひびわれが発生することによる応力再配分でさらにひびわれ本数が増加する領域で、最大荷重は後述のように引張下縁が引張破壊ひずみに達した時点と推定される。第 3 段階は C F のマトリックスからの引抜けによる破壊が進行する領域と考えられる。なお、図 3 より MC を添加すると C F R C の曲げ変形能が著しく向上することが認められる。これは MC の接着効果により C F とセメントマトリックスとの付着応力が向上したためと推定される。ただ、MC を添加すると表 4 の № 2, № 5 のように多量の空気（7.4 ~ 9.3%）を巻き込み十分な曲げ強度が得られない。しかし、これに消泡剤を併用することによって空気量を約 2% に低減させることができとなり、その結果曲げ強度は 20~25% 向上する。

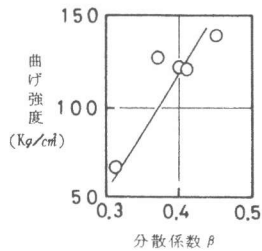


図 2. 分散係数と曲げ強度との関係

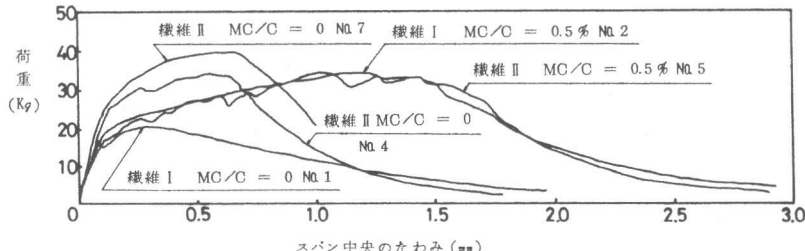


図 3. C F R C の荷重たわみ線図

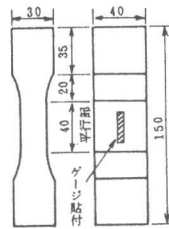


図 1. 引張供試体

表 4. 実験結果（実験 A）

No.	繊維	混練条件		実験結果			
		ミキサー	MC/C (%)	Af/C (%)	空気量 (%)	曲げ強度 (kg/cm²)	分散係数 β
1	I	オムニ	0	0	0.24	67.4	0.32
2			0.5	0.03	9.32	121.2	0.41
3			0.5	2.02	2.02	148.9	—
4	II	ミキサー	0	0	0.10	123.8	0.37
5			0.5	7.42	7.42	121.8	0.40
6			0.5	0.03	2.38	153.6	—
7	ハンド	ミキサー	0	0	0.10	138.9	0.45

3.2. CF の長さ、容積混入率の影響（実験 B）

CF 長さ ℓ 、容積混入率 V_f が CFRC の曲げ、引張強度におよぼす影響を図 4, 5, 6 に示す。また図 7 は曲げ変形能を CFRC の最大荷重時におけるたわみ量をプレン材の最大荷重時のたわみ量で除した塑性率で示したものである。これらの図より(1) V_f が大きくなる程、曲げ、引張強度とも向上するが $V_f = 7\%$ を境に再び強度が低下する傾向にあること、(2) CF 長さは強度面ではあまり明確な差異が認められないものの、変形能では長さの影響が認められ $\ell = 10\text{ mm}$ が最も優れていること等が判明した。

なお長さの影響を調査するため未硬化状態の CFRC からセメントペーストを洗出し CF を顕微鏡にて観察したところ、 $\ell = 3\text{ mm}$ の CF は直線的にランダム配向しているのに対し、 $\ell = 10\text{ mm}$ の CF は曲線的に配向している傾向にあった。すなわち $\ell = 10\text{ mm}$ の CF は $\ell = 3\text{ mm}$ の CF より引抜抵抗が大きく変形能が向上したものと推定される。ただ $\ell = 6\text{ mm}$ を用いた CFRC の変形能が他の長さのものよりも劣る原因については CF の分散性が悪いこと等が考えられるが現在のところ明らかではない。また、曲げ破断後の CF は纖維長さに関係なく付着破壊していることが電子顕微鏡の観察から認められており、CF の引張強度は十分であったといえる。一方、CFRC は図 8 の引張応力ひずみ線図から、金属材料と同様な疑似延性領域を有する特徴のあることが判る。そこでこの引張応力ひずみ線図を図 9 のように完全弾塑性と仮定し、実験値との比で表わしたのが図 10 である。

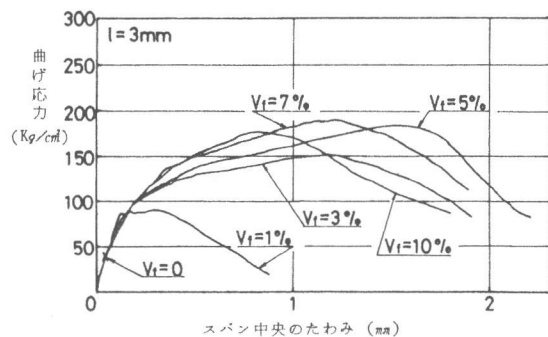


図 6. 曲げ応力とたわみとの関係

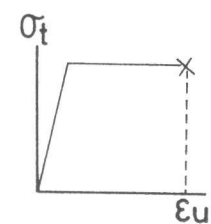


図 9. 引張応力
ひずみ線図のモデル

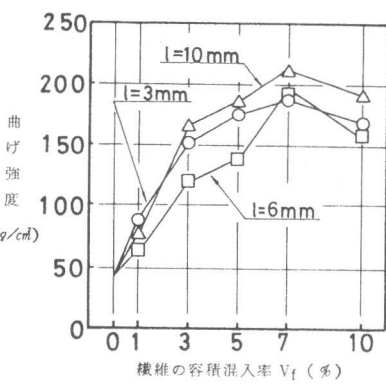


図 4. 曲げ強度と纖維の混入率との関係

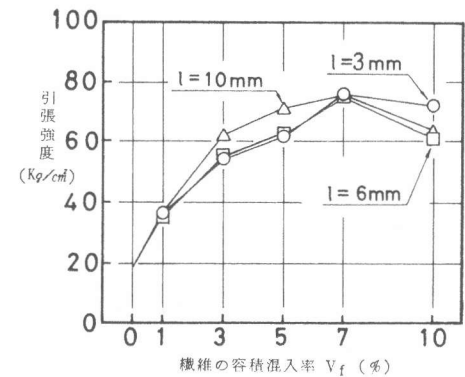


図 5. 引張強度と纖維の容積混入率との関係

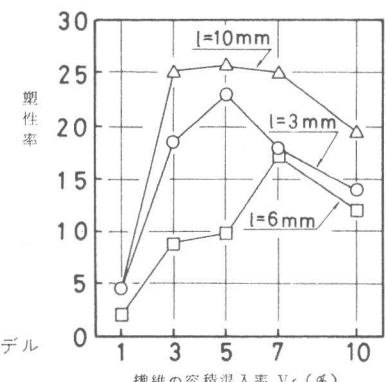


図 7. CFRC の曲げ変形能

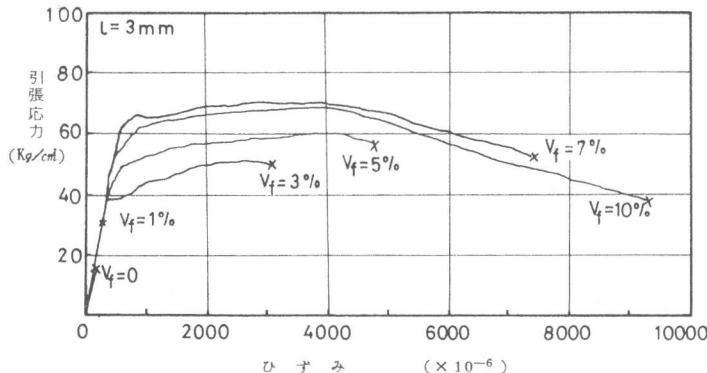


図 8. 引張応力ひずみ線図

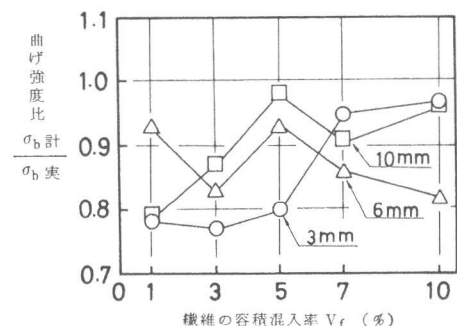


図 10. 計算値と実験値との比較

なお、最大抵抗モーメントは引張縁ひずみが引張試験で得られた破壊ひずみに達した時点で求めた。図10より計算値は実験値よりやや小さいものの、引張試験で得られた応力ひずみ線図を完全弾塑性体と仮定することによりCFRCの曲げ強度が計算出来ることが判る。

3.3. 骨材の種類と粒径の影響(実験C)

プレンモルタルに対するCFRCの曲げ強度倍率を表5に示す。CFRCの曲げ強度と水セメント比W/Cとの関係を図11に示す。図11、表5より、(1)骨材の種類にかかわらずW/Cが小さくなるにつれて曲げ強度が増大すること、(2)W/C一定のCFRCの曲げ強度は骨材粒径が大きくなるにつれて低下する、(3)川砂、川砂利を用いたCFRCはプレンモルタルに対する曲げ強度倍率が他の骨材使用の場合に比べ低いことなどが判る。これはV_f=3%のCFが均一に分散すると仮定すると纖維平均間隔は約80μmとなり、この纖維間に数ミリメートルの粒径を持つ骨材が存在すると、この骨材が弱点となり低応力で破壊するためと考えられる。

一方、8号硅砂、シラスバルーンを用いたCFRCの曲げ強度はセメントベーストにCFを混入したCFRCのそれよりも大きくなる。これはSFRICの場合に纖維の分散性を向上させるための最適骨材粒径があるといわれている⁴⁾のと同様に、CFを均一に分散させる役割を果たす最適粒径があり、CFRCの場合にはこれが8号硅砂やシラスバルーンの粒径に相当する数10μm~200μmではなかろうかと推定される。

なお、オートクレーブ養生材が水中養生材よりも高強度となっているのは、オートクレーブ養生の際に生成したトペルモライトの影響と考えられる。

4.まとめ

- (1) CFRCの曲げ強度にはCFの分散状態が大きく影響し、CFを均一分散させるためにはオムニミキサーとM/Cとの併用による混練方法が現在のところ最適である。
- (2) CF長さが3, 6, 10mm程度の範囲ではCFRCの曲げ強度への影響は少ない。但し、変形能の点からは10mm長さのものが優れている。
- (3) CFRCに用いる骨材は強度面から、シラスバルーンや8号硅砂のような粒径の細かいものが望ましい。

参考文献

- 1) M A Ali "Carbon Fibre Reinforcement of Cement," CEMENT and CONCRETE RESEARCH Vol.2 1972
- 2) 秋浜繁幸他 "炭素繊維補強コンクリート(CFRC)の実験的研究(その1) - CFRCが引張応力を受けた場合の挙動について -" 鹿島建設技術研究所年報第29号 昭和56年
- 3) 小林一輔, "繊維補強コンクリート(3)," 土木施工19巻7号, 1978年6月
- 4) 小林一輔他 "鋼繊維補強コンクリートの配合に関する実験的検討について" 鋼繊維補強コンクリートに関するシンポジウム発表報告集, 昭和52年

表5. CFRC^{*}の曲げ強度倍率

骨材の種類	W/C (%)	S/C	曲げ強度倍率	
			オートクレーブ	水中
シラスバルーン (10~200μm)	6.0	0.16	2.83	3.59
	8.0	0.34	2.69	2.67
	10.0	0.46	2.54	2.63
	12.0	0.55	2.03	2.88
川砂 (5mm以下)	4.0	0.50	1.95	2.34
	5.0	1.00	1.49	1.36
	6.0	1.40	1.72	1.43
	4.0	1.00	1.33	1.53
川砂利 (10mm以下)	5.0	1.70	1.87	1.38
	6.0	3.40	1.24	1.06
	4.0	0.10	2.69	—
	5.0	0.30	2.35	—
2号硅砂 (0.6~2.5mm)	6.0	0.50	2.24	—
	4.0	0.20	2.46	—
	5.0	0.30	2.74	—
	6.0	0.60	2.05	—
5号硅砂 (0.3~1.2mm)	4.0	0.30	2.10	—
	5.0	0.50	2.15	—
	6.0	0.80	2.03	—
	—	—	—	—

* フロー値: 160mm (一定)

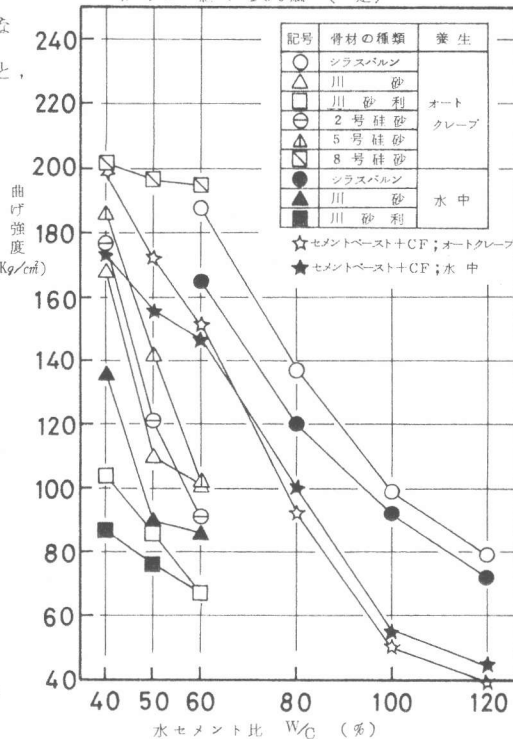


図11. 各種骨材を用いたCFRCの曲げ強度